

**การศึกษาลักษณะของแบคทีเรียโอฟาจในดิน**

**นาย เตชินท์ ตรีวิโรจน์**



**สถาบันวิทยบริการ**

**วิทยานิพนธ์นี้เป็นส่วนหนึ่งของการศึกษาคณะศึกษาศาสตร์ปริญญาวิทยาศาสตรมหาบัณฑิต**

**จุฬาลงกรณ์มหาวิทยาลัย**

**ภาควิชาจุลชีววิทยา**

**บัณฑิตวิทยาลัย จุฬาลงกรณ์มหาวิทยาลัย**

**ปีการศึกษา 2539**

**ISBN 974-636-293-3**

**ลิขสิทธิ์ของบัณฑิตวิทยาลัย จุฬาลงกรณ์มหาวิทยาลัย**

**CHARACTERIZATION OF BACTERIOPHAGES IN SOIL**



**Mr. Techin Triwiroj**

**สถาบันวิทยบริการ**  
**จุฬาลงกรณ์มหาวิทยาลัย**

**A Thesis Submitted in Partial Fulfillment of the Requirements  
for the Degree of Master of Science**

**Department of Microbiology**

**Graduate School**

**Chulalongkorn University**

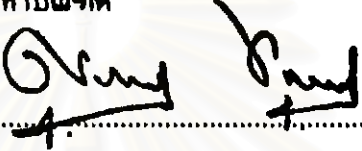
**Academic Year 1996**

**ISBN 974-636-293-3**

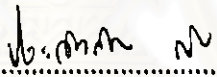
หัวข้อวิทยานิพนธ์ การศึกษาลักษณะของแบคทีเรียโอฟาจในดิน  
โดย นาย เดชรัตน์ ศรีวิโรจน์  
ภาควิชา จุลชีววิทยา  
อาจารย์ที่ปรึกษา รศ.ดร.สุรีนา ชวนิชย์

---


บัณฑิตวิทยาลัย จุฬาลงกรณ์มหาวิทยาลัย อนุมัติให้บัณฑิตวิทยาลัยฉบับนี้เป็นส่วนหนึ่ง  
ของการศึกษาตามหลักสูตรปริญญาวิทยาศาสตรบัณฑิต

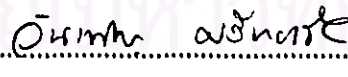
  
..... คณบดีบัณฑิตวิทยาลัย  
(ศาสตราจารย์ นายแพทย์ สุภาวัฒน์ ชุตินวงศ์)

คณะกรรมการสอบวิทยานิพนธ์

  
..... ประธานกรรมการ  
(รองศาสตราจารย์ ดร. ประภคคีสิน สิทนันทน์)

  
..... อาจารย์ที่ปรึกษา  
(รองศาสตราจารย์ ดร. สุรีนา ชวนิชย์)

  
..... กรรมการ  
(ผู้ช่วยศาสตราจารย์ ดร. ช่างวิทย์ โภษิตานนท์)

  
..... กรรมการ  
(อาจารย์ ดร. วันเทัญ ศรีทองชัย)

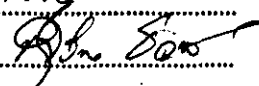
พิมพ์ต้นฉบับบทคัดย่อวิทยานิพนธ์ภายในกรอบสี่เหลี่ยมนี้เพียงแผ่นเดียว

เดชนัท ตรีวิโรจน์ : การศึกษาลักษณะของแบคทีริโอฟาจในดิน (CHARACTERIZATION OF BACTERIOPHAGES IN SOIL.) อาจารย์ที่ปรึกษา : รศ.ดร.สุริยา ขวณิช , 195 หน้า. ISBN 974-636-293-3

ตัวอย่างดิน 31 ตัวอย่างจาก 10 จังหวัดในประเทศไทย ได้ถูกนำมาใช้ในการแยกฟาจของ จุลินทรีย์ในกลุ่มแอกติโนมัยซีดิส เพื่อศึกษาลักษณะทางสัณฐานวิทยาโดยกล้องจุลทรรศน์อิเล็กตรอนแบบส่อง ผ่าน ด้วยเทคนิคการย้อมสีแบบเนกาทีฟสเตนนิ่ง จุลินทรีย์ในกลุ่มแอกติโนมัยซีดิสจากดิน แยกโดยใช้อาหาร เลี้ยงเชื้อชีวмик แอซิด วิตามิน อการ์ และถูกชักนำให้เกิดการสร้างสปอร์บนอาหารเลี้ยงเชื้อ แมนนิทอล มังขิน อการ์ ผลของงานวิจัยนี้สามารถแยกเชื้อในกลุ่มแอกติโนมัยซีดิสได้ทั้งหมด 95 สายพันธุ์ ซึ่งนำไปใช้ เป็นโฮสต์เซลล์ในการแยกฟาจด้วยวิธีส่งเสริมการเจริญ ฟาจที่แยกได้มีทั้งหมด 18 ชนิด โดยเป็นฟาจของ จุลินทรีย์ในจีนัสสเตรปโตมัยซีดิส ส่วนใหญ่ฟาจที่แยกได้จะมีรูปร่างของส่วนหัวเป็นแบบหกเหลี่ยมลูกบาศก์ มีส่วนหางยาวแต่หดรัดไม่ได้ ฟาจที่แยกได้จะมีความแตกต่างกันไป เช่น ขนาด รายละเอียดของส่วนหัว ความสามารถในการหดตัวของส่วนหาง และชนิดของแผ่นฐาน ตามการจัดจำแนกฟาจโดยอาศัยรูปร่าง ลักษณะภายนอกของ Bradley ฟาจที่แยกได้เหล่านี้มีลักษณะคล้ายฟาจกลุ่มที่ 4 และกลุ่มที่ 5 จากงาน วิจัยนี้พบว่า ค่าความเป็นกรด-ด่างที่เหมาะสมที่สุดในการแยกฟาจมีค่าอยู่ในช่วง 6.50-8.50 ยกเว้น ฟาจหมายเลข P4(2) ที่ถูกแยกได้จากตัวอย่างดินซึ่งมีค่าความเป็นกรด-ด่างเท่ากับ 4.6 ซึ่งยังไม่เคยมี รายงานการแยกสเตรปโตมัยซีดิสฟาจ ที่ค่าความเป็นกรด-ด่างของดินต่ำกว่า 5.0 ได้มาก่อน นอกจากนี้ค่า ปริมาณน้ำในดินพบว่าไม่มีความสัมพันธ์กับฟาจที่แยกได้

สถาบันวิทยบริการ  
จุฬาลงกรณ์มหาวิทยาลัย

ภาควิชา ..... จลชีววิทยา .....  
สาขาวิชา ..... จลชีววิทยาทางอุตสาหกรรม .....  
ปีการศึกษา ..... 2539 .....

ลายมือชื่อผู้ผลิต ..... เชนัท ตรีวิโรจน์ .....  
ลายมือชื่ออาจารย์ที่ปรึกษา .....  .....  
ลายมือชื่ออาจารย์ที่ปรึกษาท่าน ..... - .....

# C726335 : MAJOR MICROBIOLOGY

KEY WORD: BACTERIOPHAGE / ACTINOMYCETES / ISOLATION / SOIL / CHARACTERIZATION

TECHIN TRIWIROJ : CHARACTERIZATION OF BACTERIOPHAGES IN SOIL. THESIS ADVISOR : ASSO. PROF. SURINA CHAVANICH, Ph.D. 195 pp. ISBN 974-636-293-3

Thirty-one soil samples collected from ten provinces of Thailand were used for isolation of actinomycetes phages for the morphological characterization by transmission electron microscopy (TEM) using the negative staining technique. The isolated actinomycetes from soil were done by using humic acid vitamin agar medium (HV-medium). They were induced for spore forming on mannitol mungbean agar medium (MM-medium). Ninety-five strains of actinomycetes which were isolated from soil were used as host cells for phage isolation by enrichment method. Eighteen type of phages were detected. All phages were isolated from genus Streptomyces. Most of the phages had hexagonal heads and long non-contractile tails. They were different in size, head details and dimension, flexibility of tail and plate type. According to Bradley morphological type classification, these isolated Streptomyces phages were similar to phage group IV and group V. From this study, it was found that the optimal pH for isolation was 6.50-8.50. Exceptionally, phage no. P4(2) was isolated at pH 4.6 to which Streptomyces phages has never been reported from isolated from soil below pH 6.0. In addition the water content was not correlation to the phage isolation.

ภาควิชา Microbiology.....

สาขาวิชา Industrial Microbiology.....

ปีการศึกษา 2539.....

ลายมือชื่อนิสิต..... *ศุภกานต์ อาริสรังษี*

ลายมือชื่ออาจารย์ที่ปรึกษา..... *สุรินา ชวานิช*

ลายมือชื่ออาจารย์ที่ปรึกษาร่วม.....

กิตติกรรมประกาศ



วิทยานิพนธ์ฉบับนี้ถูกส่งไป ด้วยความช่วยเหลืออย่างดียิ่ง ของ รองศาสตราจารย์ ดร.สุริยา ชวนิชย์ อาจารย์ที่ปรึกษาวิทยานิพนธ์ที่กรุณาเป็นที่ปรึกษา ให้คำแนะนำ แนวความคิด และกำลังใจในการทำวิทยานิพนธ์ ตลอดจนช่วยเหลือวิทยานิพนธ์ฉบับนี้ให้สมบูรณ์ยิ่งขึ้นจึงขอกราบขอบพระคุณมา ณ โอกาสนี้

ขอขอบพระคุณประธานกรรมการ และคณะกรรมการทุกท่านที่กรุณาตรวจสอบและแก้ไขต้นฉบับวิทยานิพนธ์ฉบับนี้จนสำเร็จ

ขอขอบพระคุณ คุณรุจิพร ประทีปเสน และคุณศิริเพ็ญ เวชชการันย์ ที่ช่วยให้คำแนะนำ และช่วยถ่ายภาพแบคเทอริโอฟาจ ด้วยกล้องจุลทรรศน์อิเล็กตรอนชนิดส่องผ่าน

ขอขอบพระคุณ คุณวิไล บุญทวี บริษัทรัชมอร์ ประเทศไทย ที่ช่วยให้คำแนะนำ และช่วยถ่ายภาพเส้นใยเชื้อ ด้วยกล้องจุลทรรศน์สเตอริโอไมโครสโคป

ขอขอบพระคุณบัณฑิตวิทยาลัย จุฬาลงกรณ์มหาวิทยาลัย ที่ให้ทุนอุดหนุนงานวิจัย

ขอขอบพระคุณคณาจารย์ เจ้าหน้าที่ภาควิชาจุลชีววิทยา คณะวิทยาศาสตร์ จุฬาลงกรณ์มหาวิทยาลัย ตลอดจน พี่ๆ น้องๆ และเพื่อนๆ ทุกคน ที่ได้ให้ความช่วยเหลือ และให้กำลังใจเป็นอย่างดี ในการทำวิทยานิพนธ์ฉบับนี้จนสำเร็จ

ขอขอบพระคุณ คุณพ่อ คุณแม่ และพี่น้อง ที่ช่วยสนับสนุนและเป็นกำลังใจอย่างดีเสมอมา จนวิทยานิพนธ์ฉบับนี้เสร็จสมบูรณ์

สถาบันวิทยบริการ  
จุฬาลงกรณ์มหาวิทยาลัย

## สารบัญ

	หน้า
บทคัดย่อภาษาไทย .....	ง
บทคัดย่อภาษาอังกฤษ .....	จ
กิตติกรรมประกาศ .....	ฉ
สารบัญตาราง .....	ช
สารบัญรูป .....	ฅ
บทที่	
1. บทนำ .....	1
2. อุปกรณ์ และวิธีดำเนินการวิจัย .....	49
3. ผลการวิจัย .....	58
4. สรุป และวิจารณ์ผลการวิจัย .....	150
รายการอ้างอิง .....	162
ภาคผนวก .....	178
ประวัติผู้เขียน .....	195

สถาบันวิทยบริการ  
จุฬาลงกรณ์มหาวิทยาลัย

## สารบัญตาราง

ตารางที่	หน้า
1. การจัดจำแนกไวรัส โดยอาศัยความแตกต่างของขบวนการถ่ายรหัสเป็นเกณฑ์.....	7
2. ตัวอย่างโฮสต์ของฟาจที่แยกได้จากดินด้วยวิธีส่งเสริมการเจริญ.....	33
3. รายละเอียดของตัวอย่างดิน.....	58
4. ค่าความเป็นกรด-ด่างของตัวอย่างดิน.....	77
5. ปริมาณน้ำในตัวอย่างดิน.....	78
6. จุลินทรีย์ที่แยกได้จากดิน.....	79
7. ลักษณะโดยทั่วไปของเชื้อที่แยกได้จากดิน.....	80
8. ฟาจที่แยกได้จากตัวอย่างดิน.....	87
9. ลักษณะของเปลือกของฟาจที่แยกได้.....	88
10. ค่าความสามารถในการทำให้เกิดเปลือกของฟาจ.....	137
11. ลักษณะทางสัณฐานวิทยาของฟาจที่แยกได้.....	139

สถาบันวิทยบริการ  
จุฬาลงกรณ์มหาวิทยาลัย



## สารบัญรูป

รูปที่	หน้า
1. โครงสร้างโดยทั่วไปของแบคทีเรียไอฟาจ.....	3
2. ส่วนประกอบโดยทั่วไปของแบคทีเรียไอฟาจ.....	3
3. การจัดเรียงตัวของแคปซิด โปรตีนแบบเหลี่ยมลูกบาศก์.....	5
4. การจัดจำแนกแบคทีเรียไอฟาจตามรูปร่างลักษณะภายนอก.....	10
5. แสดงวงจรชีวิตแบบไลติก (lytic cycle) ของแบคทีเรียไอฟาจ.....	12
6. ก. ภาพถ่ายจากกล้องจุลทรรศน์อิเล็กตรอนของฟาจ.....	13
ข. ขั้นตอนการจับกันอย่างจำเพาะและการส่งถ่ายสารพันธุกรรม จากฟาจไปสู่โฮสต์เซลล์.....	13
7. วงจรชีวิตแบบเทมเปอร์เรท (temperate cycle) ของแบคทีเรียไอฟาจ.....	20
8. ขั้นตอนการทดสอบฟาจด้วยวิธีเลี้ยงบนอาหารแข็งสองชั้น.....	56
9. ตัวอย่างดินหมายเลข 1.....	61
10. ตัวอย่างดินหมายเลข 2.....	61
11. ตัวอย่างดินหมายเลข 3.....	62
12. ตัวอย่างดินหมายเลข 4.....	62
13. ตัวอย่างดินหมายเลข 5.....	63
14. ตัวอย่างดินหมายเลข 6.....	63
15. ตัวอย่างดินหมายเลข 7.....	64
16. ตัวอย่างดินหมายเลข 8.....	64
17. ตัวอย่างดินหมายเลข 9.....	65
18. ตัวอย่างดินหมายเลข 10.....	65
19. ตัวอย่างดินหมายเลข 11.....	66
20. ตัวอย่างดินหมายเลข 12.....	66
21. ตัวอย่างดินหมายเลข 13.....	67
22. ตัวอย่างดินหมายเลข 14.....	67
23. ตัวอย่างดินหมายเลข 15.....	68

## สารบัญรูป

รูปที่	หน้า
24. ตัวอย่างดินหมายเลข 16.....	68
25. ตัวอย่างดินหมายเลข 17.....	69
26. ตัวอย่างดินหมายเลข 18.....	69
27. ตัวอย่างดินหมายเลข 19.....	70
28. ตัวอย่างดินหมายเลข 20.....	70
29. ตัวอย่างดินหมายเลข 21.....	71
30. ตัวอย่างดินหมายเลข 22.....	71
31. ตัวอย่างดินหมายเลข 23.....	72
32. ตัวอย่างดินหมายเลข 24.....	72
33. ตัวอย่างดินหมายเลข 25.....	73
34. ตัวอย่างดินหมายเลข 26.....	73
35. ตัวอย่างดินหมายเลข 27.....	74
36. ตัวอย่างดินหมายเลข 28.....	74
37. ตัวอย่างดินหมายเลข 29.....	75
38. ตัวอย่างดินหมายเลข 30.....	75
39. ตัวอย่างดินหมายเลข 31.....	76
40. จุลินทรีย์กลุ่ม <i>Actinomyces</i> ที่แยกได้จากตัวอย่างดินทั้งหมด.....	84
41. กราฟแสดงจำนวนจุลินทรีย์ที่แยกได้ กับค่าความเป็นกรด-ด่างของดิน.....	85
42. กราฟแสดงจำนวนจุลินทรีย์ที่แยกได้ กับปริมาณน้ำในดิน.....	86
43. ลักษณะพลา๊กของฟางหมายเลข P4(2).....	89
44. ลักษณะพลา๊กของฟางหมายเลข P6(2).....	89
45. ลักษณะพลา๊กของฟางหมายเลข P10(1).....	90
46. ลักษณะพลา๊กของฟางหมายเลข P10(2).....	90
47. ลักษณะพลา๊กของฟางหมายเลข P11(1).....	91

## สารบัญรูป

รูปที่	หน้า
48. ลักษณะพลั่วคของฟางหมายเลข P13(1).....	91
49. ลักษณะพลั่วคของฟางหมายเลข P13(2).....	92
50. ลักษณะพลั่วคของฟางหมายเลข P13(3).....	92
51. ลักษณะพลั่วคของฟางหมายเลข P16(1).....	93
52. ลักษณะพลั่วคของฟางหมายเลข P16(2).....	93
53. ลักษณะพลั่วคของฟางหมายเลข P20(2).....	94
54. ลักษณะพลั่วคของฟางหมายเลข P26(1).....	94
55. ลักษณะพลั่วคของฟางหมายเลข P26(2).....	95
56. ลักษณะพลั่วคของฟางหมายเลข P26(4).....	95
57. ลักษณะพลั่วคของฟางหมายเลข P27(4).....	96
58. ลักษณะพลั่วคของฟางหมายเลข P28(1).....	96
59. ลักษณะพลั่วคของฟางหมายเลข P29(2).....	97
60. ลักษณะพลั่วคของฟางหมายเลข P30(1).....	97
61. ลักษณะพลั่วคของฟางหมายเลข P4(2) ภายใต้กล้องจุลทรรศน์สเตอริโอไมโครสโคป กว้างขยาย 40 เท่า.....	98
62. ลักษณะพลั่วคของฟางหมายเลข P6(2) ภายใต้กล้องจุลทรรศน์สเตอริโอไมโครสโคป กว้างขยาย 40 เท่า.....	98
63. ลักษณะพลั่วคของฟางหมายเลข P10(1) ภายใต้กล้องจุลทรรศน์สเตอริโอไมโครสโคป กว้างขยาย 40 เท่า.....	99
64. ลักษณะพลั่วคของฟางหมายเลข P10(2) ภายใต้กล้องจุลทรรศน์สเตอริโอไมโครสโคป กว้างขยาย 40 เท่า.....	99
65. ลักษณะพลั่วคของฟางหมายเลข P11(1) ภายใต้กล้องจุลทรรศน์สเตอริโอไมโครสโคป กว้างขยาย 40 เท่า.....	100
66. ลักษณะพลั่วคของฟางหมายเลข P13(1) ภายใต้กล้องจุลทรรศน์สเตอริโอไมโครสโคป กว้างขยาย 40 เท่า.....	100

## สารบัญรูป

รูปที่	หน้า
67. ลักษณะพลาไคของฟางหมายเลข P13(2) ภายใต้กล้องจุลทรรศน์สเตอริโอไมโครสโคป ก้ำดิ่งขยาย 40 เท่า.....	101
68. ลักษณะพลาไคของฟางหมายเลข P13(3) ภายใต้กล้องจุลทรรศน์สเตอริโอไมโครสโคป ก้ำดิ่งขยาย 40 เท่า.....	101
69. ลักษณะพลาไคของฟางหมายเลข P16(1) ภายใต้กล้องจุลทรรศน์สเตอริโอไมโครสโคป ก้ำดิ่งขยาย 40 เท่า.....	102
70. ลักษณะพลาไคของฟางหมายเลข P16(2) ภายใต้กล้องจุลทรรศน์สเตอริโอไมโครสโคป ก้ำดิ่งขยาย 40 เท่า.....	102
71. ลักษณะพลาไคของฟางหมายเลข P20(2) ภายใต้กล้องจุลทรรศน์สเตอริโอไมโครสโคป ก้ำดิ่งขยาย 40 เท่า.....	103
72. ลักษณะพลาไคของฟางหมายเลข P26(1) ภายใต้กล้องจุลทรรศน์สเตอริโอไมโครสโคป ก้ำดิ่งขยาย 40 เท่า.....	103
73. ลักษณะพลาไคของฟางหมายเลข P26(2) ภายใต้กล้องจุลทรรศน์สเตอริโอไมโครสโคป ก้ำดิ่งขยาย 40 เท่า.....	104
74. ลักษณะพลาไคของฟางหมายเลข P26(4) ภายใต้กล้องจุลทรรศน์สเตอริโอไมโครสโคป ก้ำดิ่งขยาย 40 เท่า.....	104
75. ลักษณะพลาไคของฟางหมายเลข P27(4) ภายใต้กล้องจุลทรรศน์สเตอริโอไมโครสโคป ก้ำดิ่งขยาย 40 เท่า.....	105
76. ลักษณะพลาไคของฟางหมายเลข P28(1) ภายใต้กล้องจุลทรรศน์สเตอริโอไมโครสโคป ก้ำดิ่งขยาย 40 เท่า.....	105
77. ลักษณะพลาไคของฟางหมายเลข P29(2) ภายใต้กล้องจุลทรรศน์สเตอริโอไมโครสโคป ก้ำดิ่งขยาย 40 เท่า.....	106
78. ลักษณะพลาไคของฟางหมายเลข P30(1) ภายใต้กล้องจุลทรรศน์สเตอริโอไมโครสโคป ก้ำดิ่งขยาย 40 เท่า .....	106
79. ลักษณะของเชื้อหมายเลข S4(2) บนอาหารรูนเอ็มเอส.....	107

## สารบัญรูป

รูปที่	หน้า
80. ลักษณะของเครื่องหมายเลข S6(2) บนอาหารรุ้นเอ็มเอส.....	108
81. ลักษณะของเครื่องหมายเลข S10(1) บนอาหารรุ้นเอ็มเอส.....	108
82. ลักษณะของเครื่องหมายเลข S10(2) บนอาหารรุ้นเอ็มเอส.....	109
83. ลักษณะของเครื่องหมายเลข S11(1) บนอาหารรุ้นเอ็มเอส.....	109
84. ลักษณะของเครื่องหมายเลข S13(1) บนอาหารรุ้นเอ็มเอส.....	110
85. ลักษณะของเครื่องหมายเลข S13(2) บนอาหารรุ้นเอ็มเอส.....	110
86. ลักษณะของเครื่องหมายเลข S13(3) บนอาหารรุ้นเอ็มเอส.....	111
87. ลักษณะของเครื่องหมายเลข S16(1) บนอาหารรุ้นเอ็มเอส.....	111
88. ลักษณะของเครื่องหมายเลข S16(2) บนอาหารรุ้นเอ็มเอส.....	112
89. ลักษณะของเครื่องหมายเลข S20(2) บนอาหารรุ้นเอ็มเอส.....	112
90. ลักษณะของเครื่องหมายเลข S26(1) บนอาหารรุ้นเอ็มเอส.....	113
91. ลักษณะของเครื่องหมายเลข S26(2) บนอาหารรุ้นเอ็มเอส.....	113
92. ลักษณะของเครื่องหมายเลข S26(4) บนอาหารรุ้นเอ็มเอส.....	114
93. ลักษณะของเครื่องหมายเลข S27(4) บนอาหารรุ้นเอ็มเอส.....	114
94. ลักษณะของเครื่องหมายเลข S28(1) บนอาหารรุ้นเอ็มเอส.....	115
95. ลักษณะของเครื่องหมายเลข S29(2) บนอาหารรุ้นเอ็มเอส.....	115
96. ลักษณะของเครื่องหมายเลข S30(1) บนอาหารรุ้นเอ็มเอส.....	116
97. ลักษณะโคโดนิของเครื่องหมายเลข S4(2) บนอาหารรุ้นเอ็มเอส ภายใต้กล้องจุลทรรศน์สเตรียอไมโครสโคป กำลังขยาย 40 เท่า.....	116
98. ลักษณะโคโดนิของเครื่องหมายเลข S6(2) บนอาหารรุ้นเอ็มเอส ภายใต้กล้องจุลทรรศน์สเตรียอไมโครสโคป กำลังขยาย 40 เท่า.....	117
99. ลักษณะโคโดนิของเครื่องหมายเลข S10(1) บนอาหารรุ้นเอ็มเอส ภายใต้กล้องจุลทรรศน์สเตรียอไมโครสโคป กำลังขยาย 40 เท่า.....	117
100. ลักษณะโคโดนิของเครื่องหมายเลข S10(2) บนอาหารรุ้นเอ็มเอส ภายใต้กล้องจุลทรรศน์สเตรียอไมโครสโคป กำลังขยาย 40 เท่า.....	118



## สารบัญรูป

รูปที่	หน้า
113. ตั๊กษณะโคโลนิของเชื้อหมายเลข S29(2) บนอาหารรูนเอ็มเอส ภายใต้กล้องจุลทรรศน์สเตอริโอไมโครสโคป กำลังขยาย 40 เท่า.....	124
114. ตั๊กษณะโคโลนิของเชื้อหมายเลข S30(1) บนอาหารรูนเอ็มเอส ภายใต้กล้องจุลทรรศน์สเตอริโอไมโครสโคป กำลังขยาย 40 เท่า.....	125
115. ตั๊กษณะเส้นใยและสปอร์ของเชื้อหมายเลข S4(2) ภายใต้กล้องจุลทรรศน์ไลท์ไมโครสโคป กำลังขยาย 1600 เท่า.. .....	125
116. ตั๊กษณะเส้นใยและสปอร์ของเชื้อหมายเลข S6(2) ภายใต้กล้องจุลทรรศน์ไลท์ไมโครสโคป กำลังขยาย 1600 เท่า.....	126
117. ตั๊กษณะเส้นใยและสปอร์ของเชื้อหมายเลข S10(1) ภายใต้กล้องจุลทรรศน์ไลท์ไมโครสโคป กำลังขยาย 1600 เท่า.....	126
118. ตั๊กษณะเส้นใยและสปอร์ของเชื้อหมายเลข S10(2) ภายใต้กล้องจุลทรรศน์ไลท์ไมโครสโคป กำลังขยาย 1600 เท่า.....	127
119. ตั๊กษณะเส้นใยและสปอร์ของเชื้อหมายเลข S11(1) ภายใต้กล้องจุลทรรศน์ไลท์ไมโครสโคป กำลังขยาย 1600 เท่า.....	127
120. ตั๊กษณะเส้นใยและสปอร์ของเชื้อหมายเลข S13(1) ภายใต้กล้องจุลทรรศน์ไลท์ไมโครสโคป กำลังขยาย 1600 เท่า.....	128
121. ตั๊กษณะเส้นใยและสปอร์ของเชื้อหมายเลข S13(2) ภายใต้กล้องจุลทรรศน์ไลท์ไมโครสโคป กำลังขยาย 1600 เท่า.....	128
122. ตั๊กษณะของเชื้อหมายเลข S13(3) บนอาหารรูนเอ็มเอส ภายใต้กล้องจุลทรรศน์ไลท์ไมโครสโคป กำลังขยาย 1600 เท่า.....	129
123. ตั๊กษณะเส้นใยและสปอร์ของเชื้อหมายเลข S16(1) ภายใต้กล้องจุลทรรศน์ไลท์ไมโครสโคป กำลังขยาย 1600 เท่า.....	129
124. ตั๊กษณะเส้นใยและสปอร์ของเชื้อหมายเลข S16(2) ภายใต้กล้องจุลทรรศน์ไลท์ไมโครสโคป กำลังขยาย 1600 เท่า.....	130

## สารบัญรูป

รูปที่	หน้า
125. ลักษณะเส้นใยและสปอร์ของเชื้อหมายเลข S20(2) ภายใต้กล้องจุลทรรศน์ไมโครสโคป กำลังขยาย 1600 เท่า.....	130
126. ลักษณะเส้นใยและสปอร์ของเชื้อหมายเลข S26(1) ภายใต้กล้องจุลทรรศน์ไมโครสโคป กำลังขยาย 1600 เท่า.....	131
127. ลักษณะเส้นใยและสปอร์ของเชื้อหมายเลข S26(2) ภายใต้กล้องจุลทรรศน์ไมโครสโคป กำลังขยาย 1600 เท่า.....	131
128. ลักษณะเส้นใยและสปอร์ของเชื้อหมายเลข S26(4) ภายใต้กล้องจุลทรรศน์ไมโครสโคป กำลังขยาย 1600 เท่า.....	132
129. ลักษณะเส้นใยและสปอร์ของเชื้อหมายเลข S27(4) ภายใต้กล้องจุลทรรศน์ไมโครสโคป กำลังขยาย 1600 เท่า.....	132
130. ลักษณะเส้นใยและสปอร์ของเชื้อหมายเลข S28(1) ภายใต้กล้องจุลทรรศน์ไมโครสโคป กำลังขยาย 1600 เท่า.....	133
131. ลักษณะเส้นใยและสปอร์ของเชื้อหมายเลข S29(2) ภายใต้กล้องจุลทรรศน์ไมโครสโคป กำลังขยาย 1600 เท่า.....	133
132. ลักษณะเส้นใยและสปอร์ของเชื้อหมายเลข S30(1) ภายใต้กล้องจุลทรรศน์ไมโครสโคป กำลังขยาย 1600 เท่า.....	134
133. กราฟแสดงจำนวนฟางที่แยกได้ กับค่าความเป็นกรด-ด่างของดิน.....	135
134. กราฟแสดงจำนวนฟางที่แยกได้ กับค่าปริมาณน้ำในดิน.....	136
135. กราฟแสดงค่าความสามารถในการทำให้เกิดกลิ่น ของฟางหมายเลขต่างๆ.....	138
136. ลักษณะของฟางหมายเลข P4(2) ย้อมด้วย ยูรานิลอะซิเตด (pH 4.3) ภายใต้กล้องจุลทรรศน์อิเล็กตรอนแบบส่องผ่าน กำลังขยาย 150,000 เท่า.....	140





## สารบัญรูป

รูปที่	หน้า
150. ลักษณะของฟางหมายเลข P27(4) ซ้อมด้วย ยูรานิลอะซิเตด (pH 4.3) ภายใต้กล้องจุลทรรศน์อิเล็กตรอนแบบส่องผ่าน กำลังขยาย 150,000 เท่า.....	147
151. ลักษณะของฟางหมายเลข P28(1) ซ้อมด้วย ยูรานิลอะซิเตด (pH 4.3) ภายใต้กล้องจุลทรรศน์อิเล็กตรอนแบบส่องผ่าน กำลังขยาย 150,000 เท่า.....	147
152. ลักษณะของฟางหมายเลข P29(2) ซ้อมด้วย ยูรานิลอะซิเตด (pH 4.3) ภายใต้กล้องจุลทรรศน์อิเล็กตรอนแบบส่องผ่าน กำลังขยาย 150,000 เท่า.....	148
153. ลักษณะของฟางหมายเลข P30(1) ซ้อมด้วย ยูรานิลอะซิเตด (pH 4.3) ภายใต้กล้องจุลทรรศน์อิเล็กตรอนแบบส่องผ่าน กำลังขยาย 150,000 เท่า.....	148
154. ลักษณะของฟางหมายเลข P26(4) ซ้อมด้วย ฟอสโฟทังสเตนิกแอซิด (pH 7.0) ภายใต้กล้องจุลทรรศน์อิเล็กตรอนแบบส่องผ่าน กำลังขยาย 150,000 เท่า.....	149
155. ลักษณะของฟางหมายเลข P26(4) ซ้อมด้วย ฟอสโฟทังสเตนิกแอซิด (pH 7.0) ที่เติม 0.2 % ซูโครส ภายใต้กล้องจุลทรรศน์อิเล็กตรอนแบบส่องผ่าน กำลังขยาย 150,000 เท่า.....	149
156. กล้องจุลทรรศน์อิเล็กตรอนแบบส่องผ่าน ยี่ห้อ JEOL รุ่น JEM-200CX.....	185
157. กล้องจุลทรรศน์สเตอริโอไมโครสโคป ยี่ห้อ โอลิมปัส รุ่น SZH-10.....	186
158. กล้องจุลทรรศน์ไลท์ไมโครสโคป ยี่ห้อ นิคอน รุ่น LOBOPOT + UFX-II.....	187
159. ชุดกรองสปอร์.....	188